

Понимание взаимосвязи окклюзии и осанки

Константин Ронкин,
DMD, MICCMO, LVIF, FIAPA
Бостонский институт эстетической медицины

Взаимосвязь окклюзии с состоянием позвоночника сегодня не вызывает сомнения у большинства стоматологов и остеопатов. Яркое тому подтверждение – огромное количество научных публикаций, а также тот факт, что большинство стоматологов, занимающихся лечением пациентов с окклюзионными нарушениями, прибегают к помощи остеопатов и мануальных терапевтов.

Введение

В 2006 году в своих лекциях я впервые упомянул об исследовании, проведенном итальянскими учеными на крысах, показавшими, что окклюзия влияет на позицию первого шейного позвонка и состояние всего позвоночника. Затем в 2012 году в одной из своих статей я привел фотографии с измененным позвоночником крыс из все той же статьи. И вот сегодня, спустя 10 лет после выхода этой работы, в российской стоматологической среде, включая самые популярные стоматологические и остеопатические социальные сети, разразилась живая дискуссия на эту тему. К сожалению, большинство высказываний не имели ничего общего с действительностью, а скорее базировались на принципе: «не читал, но скажу...» или «сомневаюсь я однако...».

В связи с этим, мы решили перевести и опубликовать статью итальянских исследователей Michele D'Attilio, DDS; Maria R. Filippi, MD; Beatrice Femminella, DDS; Felice Festa, MD, MS, DDS, PhD; Simona

Tessco, DDS: «Влияние экспериментально вызванной аномалии прикуса на структуру позвоночника у крыс», которая впервые вышла в свет в 2005 году в журнале Cranio и сыграла огромную роль в понимании взаимосвязи окклюзии и осанки. Статья публикуется в сокращенном варианте и с нашими комментариями.

Резюме

Взаимосвязь окклюзии и положения тела в пространстве (постуры) вызывает все больший интерес из-за большого количества болевых симптомов в области шеи и туловища у пациентов с дисфункцией височно-нижнечелюстного сустава.

Цель данного исследования – установить: возможно ли экспериментально вызвать деформацию позвоночника у крыс, как следствие нарушения окклюзии, а также наблюдать, как ведет себя позвоночник после восстановления прикуса.

В исследовании участвовали 30 подопытных крыс, разделенных на

2 группы. 15 крыс (тестовая группа) в течение недели носили пломбу из гелиокомпозитного материала на правом верхнем первом моляре (T1). На следующей неделе те же крысы в дополнение к первой носили вторую пломбу на левом первом моляре, чтобы сбалансировать окклюзию (T2). Остальные крысы были включены в необработанную контрольную группу. На каждой стадии все подопытные особи прошли полное рентгенологическое обследование:

T0 – до установки пломбы,

T1 – спустя неделю после установки пломбы на правом верхнем первом моляре,

T2 – спустя неделю с момента нанесения второй пломбы на левом первом моляре.

На снимке T1 видно, что у всех крыс из экспериментальной группы образовалась сколиотическая дуга. У крыс из контрольной группы не было обнаружено никаких изменений в области позвоночника. У 83% подопытных крыс форма позвоночника восстановилась вместе с правильной окклюзией.

Выровненный прикус, вероятно, повлиял на выпрямление позвоночника.

С помощью разнообразных способов ученым удалось развить сколиоз у некоторых подопытных особей.¹⁻¹⁵ Данные опыты выявляют у групп различных животных вероятность анатомического и функционального воздействия на спинную, нейромышечную, пищеварительную и эндокринную системы в этиологии идиопатического сколиоза. В стоматологии изучение взаимосвязи между нарушениями прикуса и позвоночником представляет все больший интерес. Это произошло вследствие распространения очага боли в мышцах шеи, торса, в области верхних и нижних конечностей, а также височно-нижнечелюстного сустава у пациентов с ДВНЧС. При определенных условиях осанка имеет тенденцию выдвигаться вперед, тем интереснее проанализировать, связаны ли эти условия с окклюзией.¹⁶

Впервые Muller-Wachendorff¹⁷ обследовал 420 детей с различными типами нарушения осанки. Из 164 детей со сколиозом у 60 (37%) обнаружили перекрестный прикус. Позже у большинства из группы шведских детей нашли односторонний перекрестный прикус (11-15%).^{18,19} В завершение Huggare обследовал 22 подростка, которые ранее проходили лечение от сколиоза и носили ортопедический корсет. У 55% из них обнаружили боковой перекрестный прикус, в отличие от подростков из контрольной группы (18%).

Таким образом, можно констатировать, что вышеописанные исследования были проведены на основе междисциплинарного метода, в результате которого трудно с точностью определить причинно-следственную связь. Именно поэтому целью данного эксперимента было выявить у группы подопытных крыс любые изменения положения позвоночника, связанные с инициированным нарушением прикуса, а также после восстановления нормальной окклю-

зии. Предыдущие исследования показали тенденцию развития перекрестного прикуса у пациентов со сколиозом. Данное исследование направлено на то, чтобы экспериментально развить у крыс перекрестное расположение зубов.

Материалы и методы

Эксперимент проводился на 30 крысах-самках Sprague Dawley, массой 350 г (средний возраст – 309 дней): 15 – в тестовой группе, 15 – в необработанной контрольной группе. У крыс из обеих групп было проведено рентгеновское обследование позвоночника в исходном положении прикуса (T0). Крысам из тестовой группы установили завышающую пломбу в 0,5 мм на правом первом верхнем моляре (рис. 1).

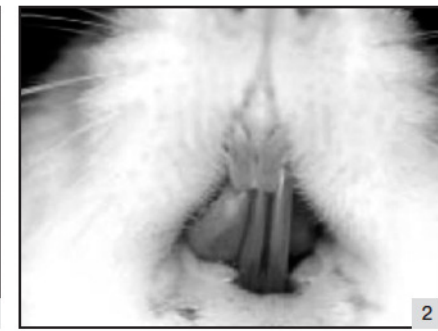
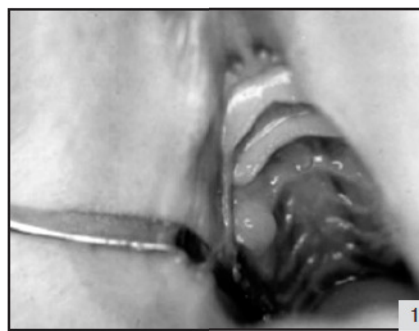
Следующие процедуры были проведены прежде, чем установить композитный материал. Крыс сначала усыпили в конусообразном стеклянном сосуде, с ватными дисками, пропитанными эфиром, после чего ввели внутрибрюшинную инъекцию бензодиазепина в дозе 5-10 мг/кг и кетамина в дозе 20-40 мг/кг. Композитный блок был сделан из гелиокомпозитного материала (рис. 1). Для того, чтобы измерить необходимое количество для нанесения по окклюзионной поверхности моляра, был использован пластмассовый баллон с углублением высотой 0,5 мм. Пломба с одной стороны создала дисбаланс окклюзии и привела к преждевременному контакту зубов при смыкании. Чтобы сделать смыкание более удобным, крысы скор-

ректировали свой прикус в более стабильном положении. Они сместили положение нижней челюсти при закрывании влево или вправо. Это смещение привело к развитию перекрестного прикуса со стороны девиации нижней челюсти. Как видно на снимке (рис. 2), нижняя центральная линия сместилась влево и нарушен прикус.

Крысы из тестовой группы носили композитный блок в течение недели (T1), после чего было проведено рентгенологическое обследование позвоночника с целью выявления каких-либо изменений, связанных с преждевременными окклюзионными контактами. В то же самое время (T1) крысам из контрольной группы сделали общий рентген. Далее для восстановления равновесия окклюзионных соотношений второй композитный блок поместили на левый верхний моляр. Новый контакт с противоположной стороны вызвал выравнивание окклюзии у крыс. Крысы неделю носили вторую пломбу (T2), после чего подопытным особям из обеих групп сделали финальное общее рентгенологическое обследование позвоночника.

Рентгенограммы

На стадиях T0, T1 и T2 каждой особи было сделано два общих рентгенологических обследования с передней и сагиттальной плоскостями. По правилам ветеринарной науки, для того, чтобы сделать эти снимки, крысы положили на стол, растянув передние и задние конечности.



Для рентгена использовали аппарат ALEM 100KV 100mA. Рентгенографические характеристики: 40 kV / 50 mA за 0,2 секунды. Установлено расстояние в 90 см между фокусом и снимком. Рентгеновская пленка (24x30) – Three-M (Minnesota Miningand Manufacturing Co., St.Paul, MN). Для обследования был применен следующий метод:

– Оборудовали металлическую коробку без дна и без крышки таким образом, чтобы она поместилась на рентгеновском столе. На коробке с горизонтальной и сагиттальной плоскости параллельно крепятся две металлические проволоки. Проволоки предназначены для того, чтобы зафиксировать передние и задние конечности крыс в максимально растянутом положении так, чтобы туловище плотно прилегало к рентгеновскому столу.

– Все конечности обмотали изолентой. Но сначала на каждой ленте нарисовали контуры перпендикулярно горизонтальной линии пластины с расстоянием в 2 см друг от друга. Эти контуры необходимы для сохранения одинакового расстояния между металлической проволокой и конечностями. Дополнительно рентген-техник наклеивал ленту на определенные точки на запястье и лодыжке крыс, а также у основания металлических проволок.

– Рентген-техник с помощью стеклографа нарисовал несколько линий перпендикулярно горизонтальной оси рентгеновского стола. Эти линии нужны для рентгенограммы. Для каждого снимка суставы передних и задних конечностей располагались в соответствии с одинаковыми линиями. Соответственно, исходные точки оставались неизменными.

– Под наркозом крыс зафиксировали с помощью проволок на металлической коробке в соответствии с нарисованными отметками для четырех конечностей и растянули по длине. Натяжение определили с помощью динамометра с учетом замеров, занесен-



ных в карту каждой особи. На всех снимках (T1 и T2), применяется одинаковая сила натяжения. Первый рентген (с фронтальной плоскостью) сделан в положении спины вниз, после чего сделали второй общий рентген (с латеральной плоскостью).

Учетные параметры на рентгенограммах: принято считать, что у крыс 30 позвонков: 7 шейных, 12 грудных, 7 лумбосакральных и 4 каудальных хребетных позвонка. В лумбосакральном отделе часто возникает сращение позвонков.

Учетные параметры на фронтальных рентгенограммах: для оценки изменений структуры позвоночника за основу взяли позвонки C4, T1, T6, T10 и L4. Параллельно краям снимка начертили прямую вертикальную линию, которая пересекает тело крысы прямо посередине, у пятого позвонка (центр таза). Лаборант отметил на снимках центральные точки по-

звонков C4, T1, T6, T10 и L4 как метки для ориентира.

Было проанализировано еще 5 параметров: расстояние (в мм) между центральными точками позвонков (C4, T1, T6, T10 и L4) и прямой вертикалью. Эти данные показывали положение позвоночника в расчете: чем больше расстояние, тем сильнее искривление позвоночника. Корректным принято считать расстояние, при котором положение позвоночника полностью совпадает с вертикальной прямой. В противном случае, оно некорректное. За нулевую отметку взяли пересечение центральной точки с вертикалью. Все измерения проводят один и тот же лаборант, который прикреплен к данной группе испытуемых особей.

Учетные параметры на латеральных рентгенограммах: положение позвоночника рассчитано с помощью геометрической конструкции. Искривления были от-

мечены, проведя касательную линию от верхней границы центральной точки до нижней границы. Далее прочертили перпендикулярные линии. Угол наклона между этими 2 линиями и определил величину изгиба. Чем больше угол, тем сильнее искривление позвоночника.

В течение нескольких часов сразу после установки завышающей пломбы с правой стороны крысы из экспериментальной группы все время открывали и закрывали рот. Тем не менее, этот инородный материал не сковывал их движений, однако в попытках поиска наиболее удобного положения повлек за собой девиацию нижней челюсти влево или вправо. При этом никаких затруднений во время приема пищи, питья или самозащиты выявлено не было. После того, как установили вторую пломбу слева для восстановления окклюзионного баланса, положение челюсти выровнялось и крысы могли нормально открывать и закрывать рот без смещения нижней челюсти. На снимках (рис. 3а-с и рис. 4а-с) видно, что у крыс без пломбы не возникло никаких изменений в области позвоночника. Однако, другая ситуация сложилась у подопытных особей из тестовой группы: такую деформацию позвоночника можно сравнить со сколиозом у людей (рис. 3б и рис. 4б). Наблюдается искривление позвоночника как вправо, так и влево. Ни у одной особи не обнаружили паралич конечностей или затруднений при движении. После изготовления второй пломбы на противоположной стороне снимок Т2 показал выравнивание спинных позвонков у всех особей из тестовой группы.

Вероятность методической ошибки в рентгенологическом обследовании была менее 5% для всех показателей. Анализ данных общей рентгенограммы не выявил явных отличий у тестовой и контрольной групп на стадии Т0, а также никаких явных изменений формы по-

Table 1
Spinal Column Misalignment (Mean and Standard Deviation Calculated as Distance Between the Center of Vertebral Bodies and the Vertical Line) in Both the Study and the Control Groups

Vertebra	T0			T1			T2			Difference	
	Test	Difference	Control	Test	Difference	Control	Test	Difference	Control	Test	Control
C4	2.90±3.96	NS	3.20±3.99	-0.53±4.56	p<0.05	3.10±3.85	1.30±1.30	NS	2.87±3.96	NS	NS
T1	2.60±4.51	NS	2.90±2.98	-1.63±5.37	p<0.01	2.83±3.80	1.37±1.37	NS	2.90±2.67	NS	NS
T6	1.40±5.08*	NS	1.73±4.77	-4.87±5.45†	p<0.01	1.93±4.11	1.17±1.17	NS	1.87±4.84	p<0.05	NS
T10	0.67±4.94‡	NS	1.30±4.95	-6.07±10.35§	p<0.05	1.53±5.13	2.60±2.60	NS	1.30±5.03	p<0.01	NS
L4	0.57±3.36	NS	1.80±6.55	-4.10±7.05	p<0.05	0.67±2.70	-0.23±4.10	NS	0.57±3.70	NS	NS

*Significantly different from T1 at p<0.01 level

†Significantly different from T1 at p<0.05 level

‡Significantly different from T2 at p<0.05 level

§Significantly different from T2 at p<0.02 level

звоночника на Т0 и Т2 в контрольной группе (Таблица 1). По сравнению с результатами на снимках Т0, на стадии Т1, напротив, у крыс из тестовой группы образовались значительные изменения положения позвонков Т6 ($p<0.01$) и Т10 ($p<0.05$) (Таблица 1).

В завершение, не найдено никаких явных изменений формы позвоночника на Т0 и Т2 в контрольной группе (Таблица 1) в отличие от данных снимка Т1. Анализ данных общей рентгенограммы не выявил явных отличий у подопытных из тестовой и контрольной групп на стадии Т0 (Таблица 2).

Обсуждение

В настоящем исследовании изменение положения окклюзии у крыс было достигнуто путем изготовления пломбы высотой менее 0.5 мм. С помощью количественного анализа удалось рассчитать одинаковую форму и размер композитного блока для всей тестовой группы (рис. 1). Затем один и тот же лаборант нанес всем подопытным особям композитный материал на окклюзионную поверхность моляра. В завершение этим крысам изготовили и установили вторую плом-

бу такого же размера и формы для восстановления нормальной окклюзии. Рентгенологическое обследование было проведено в соответствии с нормами, описанными в разделе «материалы и методы» (пункты 1 и 2), что позволило на всех стадиях использовать одинаковые параметры для исследования. Процедура, описанная в пункте 3, обеспечила точное расположение туловища крысы в металлической коробке в соответствии с положением на первой рентгенограмме. Целью данной процедуры являлось наиболее четко отобразить форму изгиба позвоночника. В связи с тем, что у крыс от природы ярко выраженный грудопоясничный кифоз, их расположение во время обследования потребовало особенного внимания. Любое случайное отклонение позвоночника от сагittalной плоскости могло быть расценено на снимках, как образование ложной кривой линии. Для исключения подобной ошибки конечно были симметрично растянуты так, чтобы плечевой и тазовый пояса располагались параллельно друг другу и лежали, ровно на сагittalной плоскости.

Table 2
Spinal Column Curvature (Mean and Standard Deviation) Calculated as the Downward Opening Angle on Lateral Radiographs in Both the Study and the Control Groups

	T0			T1			T2			Mean	SD	T0vs.T2
	Mean	SD	T0vs.T1	Mean	SD	T1vs.T2	Mean	SD	T0vs.T2			
Control group	6.67	4.68	NS	6.53	4.36	NS	6.60	4.60	NS			
Study group	6.73	4.25	NS	5.40	2.99	NS	8.00	4.09	NS			

Благодаря точному расчету анализ методической ошибки показал отсутствие явных отличий между положением позвоночника на двух рентгенограммах и подтвердил успешность данного метода в исследованиях подобного рода. На общих снимках форму позвоночника определили, как расстояние (мм) между центрами позвонков C4, T1, T6, T10 и L4 и вертикальной прямой, проведенной параллельно боковым краям снимков и пересекающей центр таза. Чем больше расстояние, тем сильнее отклонение сегмента позвоночника.

Для исследования взяли за основу позвонки C4, T1, T6, T10 и L4, так как они представляют все сегменты позвоночника крыс (кроме каудального) и из-за равного расстояния между ними.

В настоящем исследовании рентгенограммы на стадии T1 были сделаны спустя неделю после установки первой пломбы, на стадии T2 – спустя неделю после установки второй пломбы. Недельный интервал был рассчитан, исходя из средней продолжительности жизни человека (70 лет) и крысы (3 года), а также с учетом срока появления первых симптомов патологии височно-нижнечелюстного сустава после нарушения окклюзии (6 месяцев) (из личной переписки Dr. Farrar и Dr. D'Attilio, 1984).

Пропорциональный расчет:

$$\frac{25\ 550 \text{ дней}}{180 \text{ дней}} = \frac{1085 \text{ дней}}{x \text{ дней}},$$

в результате: $x=7.64$ дней.

Спустя неделю после установки второй пломбы всем крысам из тестовой и контрольной групп сделали рентген, чтобы проследить за изменениями позвоночника после восстановления окклюзии.

Существует ряд теорий об этиологии и патогенезе идиопатического сколиоза. Эти теории основаны на факторах, связанных с генетикой,²³ опорно-двигательной,²⁴⁻²⁵ пищеварительной, нервной системами и с химическими процесса-

ми в организме.²⁶ Основываясь на подобных теориях, ученые смогли инициировать развитие сколиоза у некоторых особей, используя специальные техники.¹⁻¹⁵

В основе данного исследования лежит взаимосвязь анатомических и функциональных соотношений между стоматогнатическим аппаратом и позвоночником. Эта взаимосвязь подтверждается в исследованиях у многих авторов.^{16,28-31}

Нейрофизиологические принципы взаимодействия и сенсибилизации

Постоянное болевое воздействие на нервные клетки второго ряда может усилить чувствительность этих клеток. Далее, посторонние нервные импульсы в рамках одной зоны могут вызывать неправильные ощущения. К примеру, в краниоцеркальной области постоянное

ле (64%), пациенты с кранио-мандибулярными миогенными болями – 58%, оба типа – 53%.¹⁶

Анатомические детали

В связи с тем, что нижняя челюсть образует с черепом подвижное соединение, между ними существует анатомическая связь. Голова, шея и челюсти тесно связаны между собой, образуя комплексную функциональную систему.²⁸ Феста et al.³⁰ обнаружил на латеральном снимке черепа (голова в естественном положении) явную взаимосвязь между длиной нижней челюсти и углом цервикального лордоза у женщины средних лет с дистальным положением прикуса. Выяснилось, что чем больше тело нижней челюсти, тем ровнее шея.³⁰ В тестовой группе из 50 женщин с внутренней патологией суставов латеральные цефалометрические снимки пока-

Последние исследования показали большую вероятность наличия болей в шейной области у группы пациентов с дисфункцией височно-нижнечелюстного сустава в отличие от пациентов из контрольной группы (без симптомов ДВНЧС).

болевое воздействие из верхней части трапециевидной мышцы может привести к повышенной чувствительности тройничного нерва, следовательно, импульсы в области жевательных зубов могут спровоцировать болевые ощущения в зоне тройничного нерва.²⁸ Это следствие дополнительного воздействия клеток тройничного нерва на каудальный отдел.²⁹ Таким образом, последние исследования показали большую вероятность наличия болей в шейной области у группы пациентов с дисфункцией височно-нижнечелюстного сустава в отличие от пациентов из контрольной группы (без симптомов ДВНЧС). Пациенты с кранио-мандибулярными артрогенными болями больше других подвержены болям в шейном отде-

али значительно меньший угол лордоза – $p<0.05$, чем у женщин из контрольной группы (без нарушений прикуса).³¹

Основываясь на вышеизложенных наблюдениях, которые подчеркивают анатомическую и нейрофизиологическую взаимосвязь позвоночника и стоматогнатического аппарата, целью данного исследования было выявить изменения формы позвоночника у крыс с экспериментально вызванными нарушениями окклюзии и после восстановления окклюзии. Множество источников подтверждает наличие перекрестного прикуса у подростков со сколиозом.^{17,20} В рамках этого исследования крысы экспериментальным путем получили перекрестное соотношение зубов.

Важнейшим открытием данного эксперимента стало то, что перекрестный прикус у крыс из тестовой группы, вызванный композитным блоком с одной стороны, привел к ротации позвонка T6 ($p<0.01$ от T0 до T1) и позвонка T10 ($p<0.05$ от T0 до T1). Более того, положение этих позвонков выровнялось на стадии T2, когда установили второй композитный блок с противоположной стороны. Фактически, снимки T0 и T2 идентичны. Изменения видны только на стадии T1 (Таблица 1). Этот опыт доказывает, что функциональный перекрестный прикус у крыс привел к развитию сколиоза. Любопытно, что деформации позвоночника у крыс можно сравнить со сколиозом, вы-

званным повреждениями гипоталамуса (из опытов Yamada et al.),³² а также с опытами Machida et al. с pinealэктомией. Однако взаимосвязь осложненных окклюзионных признаков с проблемами в гипоталамусе или дефицитом мелатонина на фоне pinealэктомии науке неизвестна. Наш пример доказывает, что прямая спина требует точного сбалансированного положения осанки. Сколиоз стал следствием деформации осанки, опорных структур, положения позвоночника и связанных с ним нейромышечных компонентов. В результате мы получили смещение контактов в морфологии и положении суставов, а также нарушение эла-

стичности и структуры мягких тканей. Новые окклюзионные контакты оказали негативное воздействие на всю геометрию позвоночника. Они отображают тяготение нейромышечной системы к смещению центра тяжести в сторону крестцовой области к центру опоры, образуя, таким образом, горизонтальную вестибулярную и визуальную системы координат. На начальном этапе у крыс не было проблем с окклюзией, но после образования перекрестного прикуса их позвоночник подвергся деформации.

Мы отметили, что направление сколиотической кривой непредсказуемо либо выбранное количество испытуемых было недоста-

Литература:

1. Barrios RL, Tunon MT, DeSalis JA, Beguiristain JL, Canadell J: Scoliosis induced by medullary damage: an experimental study in rabbits. Spine 1987; 12:433-439.
2. Chuma A, Kitahara H, Minami S, Goto S, Takaso M, Moriya H: Structural scoliosis model in dogs with experimentally induced syringomyelia. Spine 1997; 22:589-595.
3. DeSalis J, Beguiristain JL, Canadell J: The production of experimental scoliosis by selective arterial ablation. Int Orthop 1980; 3:311-315.
4. Langenskiold K, Michelson JE: Experimental progressive scoliosis in rabbits. J Bone Joint Surg (Br) 1961; 43:116-120.
5. Piggott H: Posterior rib resection in scoliosis. J Bone Joint Surg(Br) 1971; 53:663-671.
6. Pincott JR, Davies JS, Taffs LF: Scoliosis caused by section of dorsal spinal nerve roots. J Bone Joint Surg (Br) 1984; 66:27-29.
7. Pincott JR, Tails LF: Experimental scoliosis in primates: a neurological cause. J Bone Joint Surg [Br] 1982; 64:27-29.
8. Ponseti IV: Skeletal lesions produced by aminonitriles. Clin Orthop 1957; 9:131-144.
9. Ponseti IV, Shepard RS: Lesions of the skeleton and of other mesodermal tissues in rats fed sweet pea (*Lathyrus adoratus*) seeds. J Bone Joint Surg (Am) 1954; 36:1031-1058.
10. Sarwark JF, Dabney KW, Salzman SK, Wakabayashi T, Kitadai HK, Beauchamp JT, Beckman AL, Burnell WP: Experimental scoliosis in rat: I. Methodology, anatomic features, and neurologic characterization. Spine 1988; 13:466-471.
11. Sevastik B, Willers U, Hedlund R, Sevastik J, Kristjansson S: Scoliosis induced immediately after mechanical medial rib elongation in the rabbit. Spine 1993; 18:923-926.
12. Smith RM, Dickson RA: Experimental structural scoliosis. J Bone Joint Surg (Br) 1987; 69:576-581.
13. Tanaka H, Kimura Y, Ujino Y: The experimental study of scoliosis in bipedal rat in the lathyrism. Arch Orthop Trauma Surg 1982; 101:1-27.
14. Machida M, Murai I, Miyashita Y, Dubousset J, Yamada T, Kimura J: Pathogenesis of idiopathic scoliosis: experimental study in rats. Spine 1999; 24:1985-1989.
15. Machida M, Dubousset J, Satoh T, Murai I, Wood KB, Yamada T, Ryu J: Pathologic mechanism of experimental scoliosis in pinealectomized chickens. Spine 2001; 26:085-391.
16. Visscher CM, Lobbezoo F, de Boer W, van der Zaag J, Naeije M: Prevalence of cervical spinal pain in craniomandibular pain patients. Eur J Oral Science 2001; 109:76-80.
17. Korbmacher H, Eggers-Stroeder G, Koch L, Kahl-Nieke B: Correlations between dentition anomalies and diseases of the postural and movement apparatus - a literature review. J Orofac Orthop 2004; 65:190-203.
18. Modeer T, Odenrick L, Lindner A: Sucking habits and their relation to posterior cross-bite in 4-year-old children. Scand J Dent Res 1982; 90:323-328.
19. Larsson E: Dummy- and finger-sucking in 4-year-olds. Swed Dent Res 1975; 68:219-224.
20. Huggare J, Pirttiniemi P, Serlo W: Head posture and dentofacial morphology in subjects treated for scoliosis. Proc Finn Dent Soc 1991; 87:151-158.
21. Huggare J, Postural disorders and dentofacial morphology. Acta Odontol Scand 1998; 56:383-386.
22. Dahlberg G: Statistical methods for medical and biological students. London: George Allen and Unwin, Ltd. 1940.
23. Fischer RL, DeGeorge PV: Idiopathic scoliosis: an investigation of genetic and environmental factors. J Bone Joint Surg (Am) 1967; 49:1005-1006.
24. Fidler MW, Jowett RL: Muscle imbalance in the etiology of scoliosis. J Bone Joint Surg (Am) 1976; 58:200-201.
25. Yaron R, Robin GC: Studies on spinal and peripheral muscles from patients with scoliosis. Spine 1979; 4:12-21.
26. Pedrinia VA, Ponseti IV, Dohrmann SC: Glycosaminoglycans of intervertebral disk in idiopathic scoliosis. J Lab Clin Med 1973; 82:938-950.
27. Allard P, Chavet P, Barbier F, Gatto L, Labelle H, Sadeghi H: Effect of body morphology on standing balance in adolescent idiopathic scoliosis. Am J Phys Med Rehabil 2004; 83:689-697.
28. Okeson JP, ed. Orofacial pain. Guidelines for assessment, diagnosis and management. The American Academy of Orofacial Pain. Chicago: Quintessence. 1996:197.
29. Okeson JP: Bells orofacial pains. 5th ed. Chicago: Quintessence, 1995:45-89.
30. Festa F, Tecco S, Dolci M, Ciuffolo F, Di Meo S, Filippi MR, Ferritto AL, D'Attilio M: Relation between cervical lordosis and facial morphology in Caucasian adult women with a skeletal class II malocclusion: a transversal study. J Craniomandib Pract 2003; 21:121-129.
31. D'Attilio M, Tecco S, Dolci M, Ciuffolo F, Epifania E, Filippi MR, Festa F: Cervical lordosis angle measured on lateral cephalograms: findings in skeletal class II female subjects with and without TMD. A cross-sectional study. J Craniomandib Pract 2004; 22(1):17-44.
32. Yamada K, Ikata I, Yamamoto H, Nakagawa Y, Tanaka H, Tezuka A: Equilibrium function in scoliosis and active corrective plaster jacket for the treatment. Tokushima J Exp Med 1969; 16:1-7.
33. Moya H, Miralles R, Zuniga C, Carvajal R, Rocabado M, Santander H: Influence of stabilization occlusal splint on craniocervical relationship. Part I: cephalometric analysis. J Craniomandib Pract 1994; 12:47-51.
34. Hellings E, Reigo T, McWilliam J, Spangfort E: Cervical and lumbar lordosis and thoracic kyphosis in 8, 11 and 15-year-old children. Eur J Orthod 1987; 9:129-138.
35. Hellings E, Reigo T, McWilliam J, Spangfort E: The relationship between craniofacial morphology, head posture and spinal curvature in 8, 11 and 15-year-old children. Eur J Orthod 1987; 9:254-264.

точно для изучения вероятности отклонения в ту или иную сторону. Дальнейшие расширенные исследования внесут ясность и позволят предопределить направление искривления позвоночника. Этот механизм может быть связан

следования. После ношения каппы обнаружили значительное расширение головы в шейном отделе позвоночника и увеличение цервикального лордоза. Hellsing et al.³⁴ провел исследование на 125 детях в возрасте 8, 11 и 15 лет для на-

В основе данного исследования лежит взаимосвязь анатомических и функциональных соотношений между стоматогнатическим аппаратом и позвоночником. Эта взаимосвязь подтверждается в исследованиях у многих авторов.

со смещением первого шейного позвонка С1, которое повлекло за собой отклонение смежных позвонков, вследствие чего изменилась вертикальная форма позвоночника. Неправильное функционирование мышц и асимметрия изменили направление позвонков, таким образом, способствуя деформации формы позвоночника.²¹⁻²² Однако наш эксперимент – в силу ограниченного количества образцов – не позволил определить вероятность направления движения позвонков.

Взаимосвязь между шейным отделом позвоночника и стоматогнатическим аппаратом была доказана ранее у многих авторов. К примеру, у Festa et al.³⁰ в цефалометрическом исследовании белых женщин средних лет с дистальным прикусом видна явная корреляция между длиной нижней челюсти и углом цервикального лордоза. Так же D'Attilio et al.³¹ в своем исследовании показал, что у пациентов с внутренними нарушениями угол цервикального лордоза меньше, чем у пациентов из контрольной группы (без внутренних нарушений). Moya et al.³³ на 15 пациентах со спазмами в грудино-ключично-сосцевидных и трапециевидной мышцах изучил как ночная каппа может повлиять на краино-цервикальные связи. Пациенты с каппой и без нее прошли два латеральных рентгенологических об-

блодения развития цервикального лордоза (с помощью латеральных рентгенограмм), торакального кифоза и поясничного лордоза. Данные исследования показали очевидную взаимосвязь торакальной и поясничной деформаций с отклонением нижней части шейного отдела позвоночника (от 4 к 6 позвонку) по отношению к вертикальной прямой.

В своей работе Hellsing et al.³⁵ изучил связь торакального кифоза и некоторых черепно-лицевых морфологических изменений: грудной отдел позвоночника искривился вследствие выступа лица вперед и передне-заднего измерения нижней челюсти. Это подтверждает, что искривление обладает компенсаторным механизмом, который позволяет обеспечивать равновесие. Однако стоит учитывать, что эти результаты относятся к людям и могут не совпадать с постуральной адаптацией у крыс, но они доказывают тесную взаимосвязь между стоматогнатическим аппаратом и позвоночником у всех позвоночных животных. Основываясь на вышеизложенных наблюдениях, можно сделать вывод, что образование сколиотической дуги в нашем эксперименте было связано со смещением первого шейного позвонка С1, которое повлекло за собой смещение смежных позвонков и привело к деформации позвоночника.

Ограничения исследования

Данное исследование можно считать пробным из-за небольшого количества экспериментальных образцов. Трудно с точностью определить, как позвоночник будет себя вести из-за ограниченного недельного срока ношения первого и второго композитного блока. Невозможно сделать вывод об эффективности применения этого метода на людях, поскольку данный эксперимент проводился на четвероногих моделях (крысы). Дальнейшие исследования в этом направлении помогут определить взаимосвязь между окклюзией и функциональными аспектами осанки и позвоночника у животных и людей.

Комментарий

Несмотря на то, что данная работа носила экспериментальный и ограниченный характер, она отчетливо показывает связь окклюзии с деформацией позвоночника животных. С момента выхода данной статьи было проведено большое количество исследований, подтверждающих выводы, которые были сделаны авторами.

В качестве примера можно привести работу Norma Tomasa, руководителя исследовательской лаборатории IVI «The Relationship Between the Upper Cervical Complex and the Temporomandibular Joint in TMD and Its Treatment Correction», опубликованной в IVI Visions, в январе 2009 года. В статье была продемонстрирована конгруэнтность суставных поверхностей мыщелковых отростков ВНЧС и атланто-окципитального сочленения. Было показано, что при смещении (сублаксации) черепа вперед в атланто-окципитальном сочленении, в ВНЧС происходит перемещение суставной головки от латерального полюса к медиальному.

Перевод: Любовь Татевосян
Редакция: Константин Ронкин

С полной версией статьи
можно ознакомиться на сайте
www.bostoninst.ru